

УДК 535.32

Г. С. Макеева, О. А. Голованов, М. А. Чиркина

## СПИНОВАЯ ДИНАМИКА В РЕШЕТКАХ ФЕРРОМАГНИТНЫХ МЕТАЛЛИЧЕСКИХ НАНОПРОВОЛОК В УСЛОВИЯХ СКИН-ЭФФЕКТА В ТЕРАГЕРЦОВОМ ДИАПАЗОНЕ ЧАСТОТ

*Аннотация.* Исследуются особенности спектра спин-волнового резонанса, обусловленные влиянием скин-эффекта на частоте 30 ТГц в двумерных периодических решетках ферромагнитных металлических нанопроволок (диаметр  $2r = 10\text{--}25$  нм, длина  $l = 300$  нм, период нанорешетки  $a = 3,5r$ ,  $b = 1,25l$ ,  $c = 2r$ ) при различной ориентации вектора постоянного поля подмагничивания  $\vec{H}_0$  к оси нанопроволок.

*Ключевые слова:* спин-волновой резонанс, скин-эффект, периодические решетки, ферромагнитные нанопроволоки, поле подмагничивания.

*Abstract.* The properties of localized standing spin wave resonances are investigated for a regular 2D array of ferromagnetic metallic nanowires (10–25 nm diameter, 300 nm long, periodicity  $a = 3,5r$ ,  $b = 1,25l$ ), magnetized at different orientation of the bias magnetic field  $H_0$  with respect to the wire axis at the frequency  $f = 30$  GHz.

*Keywords:* standing spin wave resonances, skin-effect, regular array, ferromagnetic nanowires, bias magnetic field.

### Введение

Уникальные эффекты, которые демонстрируют магнитофотонные кристаллы, привлекают к себе внимание исследователей. Одним из наиболее интересных направлений является изучение способов управления спектральными свойствами таких структур в гигагерцовом и терагерцовом частотных диапазонах [1, 2]. Использование магнитных материалов в составе фотонных кристаллов позволяет управлять спектром пропускания фотонного кристалла, прикладывая внешнее постоянное магнитное поле [2].

В данной работе исследуется спектр спин-волнового резонанса в двумерных периодических решетках ферромагнитных (железных) нанопроволок при различной ориентации вектора постоянного поля подмагничивания  $\vec{H}_0$  к оси нанопроволок в условиях скин-эффекта на частоте 30 ТГц. При анализе спектра в модели учитывается глубина проникновения электромагнитного поля в ферромагнитный металл и вызванное этим нарушение однородности распределения намагниченности.

### 1. Математическая модель и анализ спин-волновых резонансов в решетке ферромагнитных металлических нанопроволок

Для учета скин-эффекта, существенного в терагерцовом диапазоне для ферромагнитных металлических нанопроволок с высокой проводимостью, разработана математическая модель на основе совместного решения уравнений Максвелла и уравнения движения вектора намагниченности в форме Ландау – Лифшица с учетом обменного взаимодействия [3]. Неоднородное распределение намагниченности, возникающее в поверхностном слое ферромагнитного металла нанопроволок в решетке с периодом порядка радиуса

проводки (при уменьшении расстояния между нанопроводками до длины обменного взаимодействия), требует учета неоднородного обменного взаимодействия в уравнении Ландау – Лифшица.

Получено решение краевой задачи дифракции для ТЕМ-волны ( $\vec{E} = E \vec{x}_0$ ,  $\vec{H} = H \vec{y}_0$  с волновым вектором  $\vec{k}$ , частотой  $\omega$  и амплитудой  $C_{1(1)}^+(\omega)$ ), распространяющейся вдоль оси  $z$  (рис. 1), при различной ориентации вектора постоянного поля подмагничивания  $\vec{H}_0$ .

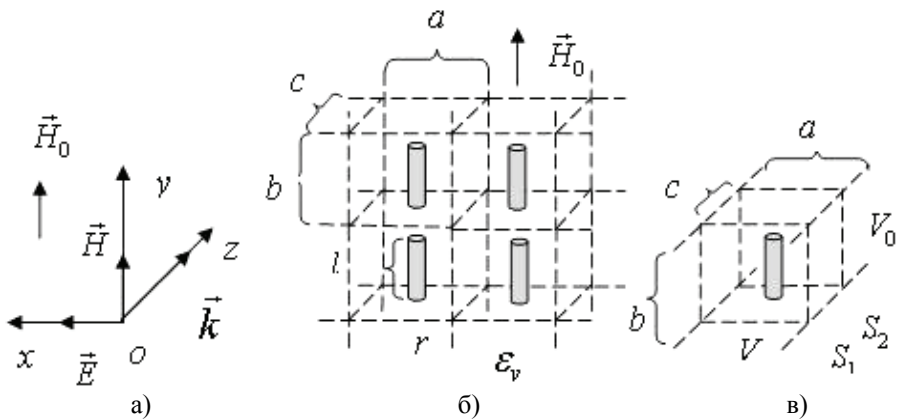


Рис. 1. Дифракция электромагнитной волны на периодической решетке магнитных нанопроволок: а – ориентация падающей ТЕМ-волны с волновым вектором  $\vec{k}$ ; б – двумерная решетка намагниченных ферромагнитных нанопроволок; в – автономный блок с каналами Флоке, содержащий магнитную нанопроволоку

При помощи декомпозиционного вычислительного алгоритма, разработанного на основе автономных блоков с каналами Флоке с магнитными наховключениями (МФАБ) [4], рассчитан модуль коэффициента прохождения  $|T_{21}|$  ТЕМ-волны через двумерную периодическую решетку ферромагнитных нанопроволок (период нанорешетки  $a = 3,5r$ ,  $b = 1,25l$ ; диаметр  $2r = 10$  нм, длина нанопроволок  $l = 300$  нм) в зависимости от величины постоянного поля намагничивания  $H_0$  при различной ориентации вектора постоянного поля подмагничивания  $\vec{H}_0$  (кривые  $a-d$  на рис. 2)) на частоте  $f = 30$  ТГц.

Расчет выполнен при следующих параметрах ферромагнетика (железо): намагниченность насыщения  $4\pi M_0 = 21580$  Гс, константа обменного взаимодействия  $A = 2,2 \cdot 10^{-9}$  Э·см<sup>2</sup>, проводимость  $\sigma = 1,03 \cdot 10^5$  Ом<sup>-1</sup>·см<sup>-1</sup>, параметр диссипации  $\alpha = 0,0023$  [3]. Ферромагнитные нанопроволоки расположены в немагнитной диэлектрической матрице – среде с относительной диэлектрической проницаемостью  $\epsilon_v = 5$  и относительной магнитной проницаемостью  $\mu_v = 1$ .

Как следует из полученных результатов математического моделирования (рис. 2), зависимости модуля коэффициента прохождения  $|T_{21}|$  ТЕМ-волны через периодическую решетку магнитных нанопроволок имеют

экстремумы (кривые  $a-d$  на рис. 2), положение которых не зависит от ориентации поля намагничивания  $\vec{H}_0$  и определяется только величиной  $H_0$ .

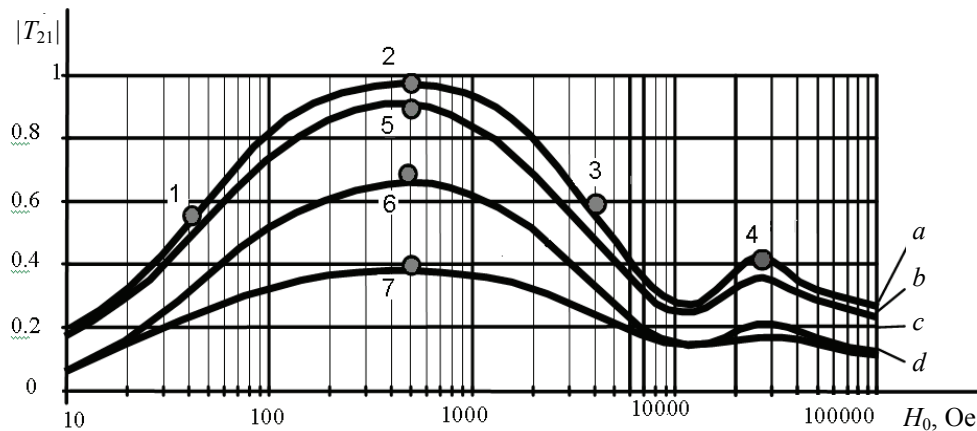


Рис. 2. Парциальные резонансы и антирезонансы спин-волновых мод в двумерной периодической решетке ферромагнитных нанопроволок в зависимости от величины постоянного магнитного поля намагничивания  $H_0$  при изменении ориентации  $\vec{H}_0$ :  $f = 30 \text{ ТГц}$ ;  $2r = 10 \text{ нм}$ ;  $l = 300 \text{ нм}$ ;  $a = 3,5r$ ,  $b = 1,25l$ ; кривые  $a$ :  $\beta = 0^\circ$ ,  $\alpha = \gamma = 90^\circ$ ;  $b$ :  $\beta = 11,5^\circ$ ,  $\alpha = \gamma = 82^\circ$ ;  $c$ :  $\beta = 70^\circ$ ,  $\alpha = \gamma = 72^\circ$ ;  $d$ :  $\beta = 89^\circ$ ,  $\alpha = \gamma = 56^\circ$  ( $\alpha$  – угол между вектором  $\vec{H}_0$  и осью  $ox$ ;  $\beta$  – угол между вектором  $\vec{H}_0$  и осью  $oy$ )

Кривые  $a-d$  имеют характерные экстремумы, отвечающие спин-волновым модам спектра, при этом изменение направления вектора поля намагничивания  $\vec{H}_0$  практически не сказывается на положении этих экстремумов и приводит к значительному уменьшению их амплитуды.

Для ферромагнитных металлических нанопроволок толщина скин-слоя  $\delta_l$  определяется равенством [3]

$$\delta_l = \delta / \left( |\mu_{\text{ЭФ}}| + \mu''_{\text{ЭФ}} \right)^{1/2}, \quad (1)$$

где  $\delta$  – толщина скин-слоя в металле (при  $\mu = \mu_0$ ),  $\mu_{\text{ЭФ}} = \mu'_{\text{ЭФ}} - i\mu''_{\text{ЭФ}}$  – эффективная скалярная магнитная проницаемость [3], которая зависит от компонентов тензора динамической высокочастотной магнитной проницаемости  $\hat{\mu} = 1 + 4\pi\hat{\chi}$ , здесь  $\hat{\chi}$  – тензор динамической высокочастотной магнитной восприимчивости [5].

В общем случае компоненты  $\chi_{ij}(\vec{k}, \omega)$  тензора  $\hat{\chi}$  являются функциями не только частоты  $\omega$ , но и волнового вектора  $\vec{k}$  [5]. Это означает, что кроме частотной дисперсии существует еще и пространственная дисперсия динамической высокочастотной магнитной восприимчивости  $\hat{\chi}$  ограниченного ферромагнитного образца [5]. И если размеры  $L$  (диаметр  $2r$  и длина  $l$ ) ферромагнитных нанопроволок малы, но не удовлетворяют условию  $L \gg 10^{-8} \text{ м}$  [5], то пространственная дисперсия существенна и необходимо учитывать зависи-

мость тензора динамической высокочастотной магнитной восприимчивости  $\hat{\chi}$  ферромагнитного образца с ограниченными размерами от волнового вектора  $\vec{k}$ . В этом случае тензор динамической высокочастотной магнитной проницаемости  $\hat{\mu}$  не только является функцией частоты, учитывает его магнитные характеристики, геометрию и ориентацию относительно СВЧ-поля [5], но и зависит от формы нанопроволок и геометрии магнитной нанорешетки.

При уменьшении размеров нанопроволок и периодичности решетки (переходе в масштаб длины обменного взаимодействия) тензор динамической высокочастотной магнитной проницаемости  $\hat{\mu}(\vec{k}, \omega)$  описывает спектр колективных мод дипольно-обменных СВ магнитной нанорешетки.

Поглощаемая магнитной нанорешеткой энергия определяется антиэрмитовой частью тензора динамической высокочастотной магнитной восприимчивости  $\hat{\chi}(\vec{k}, \omega)$  [4], которая возрастает вблизи резонансных частот, т.е. собственных частот  $\omega_{0n}$  различных спин-волновых мод соответствующего типа и порядка  $n$ .

В условиях спин-волнового резонанса дипольно-обменных СВ мнимая часть  $\mu''_{\text{эф}}$  комплексной эффективной скалярной магнитной проницаемости  $\hat{\mu}_{\text{эф}} = \mu'_{\text{эф}} - i\mu''_{\text{эф}}$  достигает максимума. На частотах спин-волнового резонанса толщина скин-слоя  $\delta_1$  (1) имеет малую величину. И в результате глубина проникновения электромагнитного поля в ферромагнитный металл уменьшается, поглощаемая магнитной нанорешеткой мощность возрастает.

Минимумы модуля коэффициента прохождения  $|T_{21}|$  (рис. 2) отвечают максимумам  $\mu''_{\text{эф}}$  и соответствуют возбуждаемым коллективным дипольно-обменным спин-волновым модам в магнитной нанорешетке на частотах  $\omega_{0n}$  спин-волнового резонанса в магнитных нанопроволоках, определяемых внутренним магнитным полем  $\vec{H}_{0\text{вн}}$ .

Напротив, в условиях антирезонанса, когда  $\mu'_{\text{эф}} = 0$ ,  $\mu''_{\text{эф}} \rightarrow 0$ , модуль коэффициента прохождения  $|T_{21}|$  увеличивается и достигает максимума (рис. 2) в точках, определяемых частотой ферромагнитного резонанса магнитной нанорешетки [1] и зависящих от частот  $\omega_{0n}$  спин-волнового резонанса дипольно-обменных мод.

Кривые на рис. 2 иллюстрируют существенное влияние глубины проникновения поля  $\delta_1$  в решетках ферромагнитных металлических нанопроволок в терагерцовом диапазоне, включая появление «окон прозрачности» вблизи точек антирезонанса, где глубина проникновения поля значительно увеличивается.

## **2. Спектр дипольно-обменных спин-волновых мод в условиях скин-эффекта в терагерцовом диапазоне**

Методом МФАБ проведен электродинамический анализ спектра возбуждаемых дипольно-обменных спин-волновых мод в двумерных периодических решетках (рис. 1) ферромагнитных (железных) нанопроволок (диаметр  $2r = 10$  и длина  $l = 300$  нм) на электродинамическом уровне строгости (без упрощения уравнений Максвелла и граничных условий). Результаты числен-

ного моделирования распределения переменной намагниченности спин-волновых мод получены с учетом влияния скин-эффекта на частоте 30 ТГц. Распределение компоненты переменной намагниченности  $M_\phi$  дипольно-обменных спин-волновых мод второго ( $n = 2$ ) и низшего ( $n = 1$ ) порядков в зависимости от координаты  $r$  на поперечном сечении нанопроволоки в условиях спин-волнового резонанса и антирезонанса представлены на рис. 3 для различных значений постоянного поля намагничивания  $H_0$ , соответствующих точкам 1–4 на рис. 2.

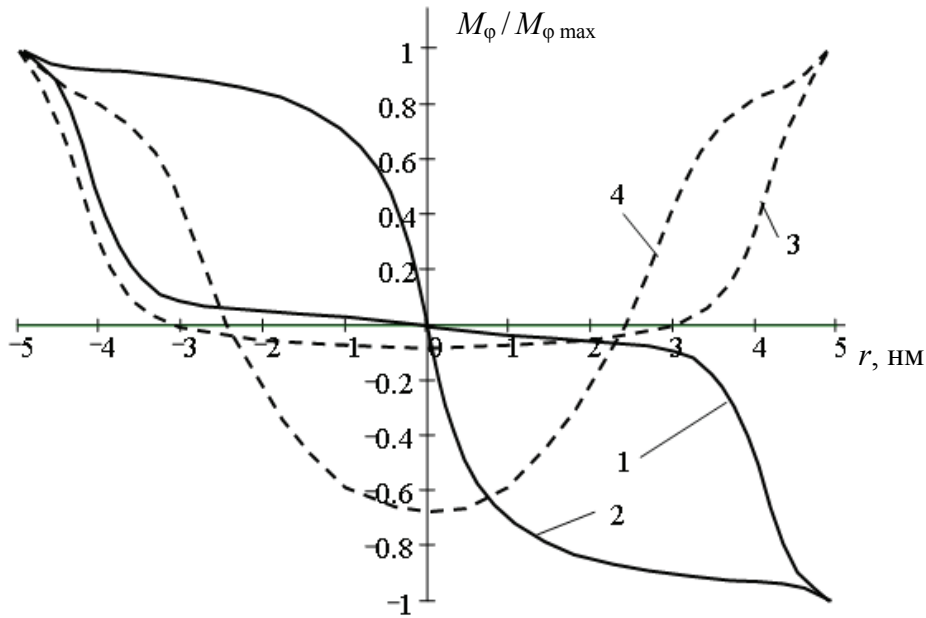


Рис. 3. Распределение намагниченности спин-волновой моды второго порядка в зависимости от радиуса  $r$  нанопроволоки:  $\vec{H}_0 = 500 \text{ Э}$ ;  $f = 30 \text{ ТГц}$ ;  $c = 2r$ ;  $b = 1,25l$ ;  $a = 3,5r$ ;  $2r = 10 \text{ нм}$ ; кривые 1:  $\beta = 0^\circ$ ,  $\alpha = \gamma = 90^\circ$ ; 2:  $\beta = 11,5^\circ$ ,  $\alpha = \gamma = 82^\circ$ ; 3:  $\beta = 70^\circ$ ,  $\alpha = \gamma = 72^\circ$ ; 4:  $\beta = 89^\circ$ ,  $\alpha = \gamma = 56^\circ$  ( $\alpha$  – угол между вектором  $\vec{H}_0$  и осью  $ox$ ;  $\beta$  – угол между вектором  $\vec{H}_0$  и осью  $oy$ )

Как показывают результаты строгого математического моделирования, приведенные на рис. 3, при возрастании величины постоянного поля подмагничивания  $\vec{H}_0$  дипольно-обменные спин-волновые моды второго порядка  $n = 2$  (кривые 1, 2 на рис. 3) и низшего порядка  $n = 1$  (кривые 3, 4 на рис. 3) возбуждаются пространственно однородным полем ТЕМ-волны. Это обусловлено влиянием скин-эффекта на частоте 30 ТГц и нарушением однородности распределения намагниченности в магнитных нанопроволоках решетки, вызванным скин-эффектом. Это радиальные поверхностные спин-волновые моды с комплексными волновыми числами [3], имеющие гиперболическое распределение переменной намагниченности (кривые 1–4 на рис. 3), которое удовлетворяет граничным условиям на поверхности нанопроволоки. Это распределение (кривые 1–4 на рис. 3) существенно зависит от изменяющейся в условиях спин-волнового резонанса и антирезонанса глубины проникновения электромагнитного поля в ферромагнитный металл.

В условиях спин-волнового резонанса моды глубина проникновения поля  $\delta_1$  в ферромагнитный металл резко уменьшается в пределах ширины кривой резонанса (точки 1, 3 на рис. 2), и распределение намагниченности спин-волновых мод (рис. 3), возникающее в поверхностном слое ферромагнитного металла нанопроволок, имеет гиперболическую зависимость (кривые 3, 4 на рис. 3). В условиях антирезонанса глубина проникновения поля  $\delta_1$  в ферромагнитный металл увеличивается в пределах ширины кривой антирезонанса и достигает локального максимума в точках антирезонанса мод (точки 2, 4 на рис. 2). Соответствующее распределение намагниченности спин-волновых мод имеет почти гармоническую зависимость (кривые 1, 2 на рис. 3).

Результаты более детального анализа спектра спин-волновых мод в условиях антирезонанса для фиксированного значения постоянного поля намагничивания  $H_0 = 500 \text{ Э}$  (точки 2, 5–7 на рис. 2) представлены для моды второго порядка ( $n = 2$ ) на рис. 4.

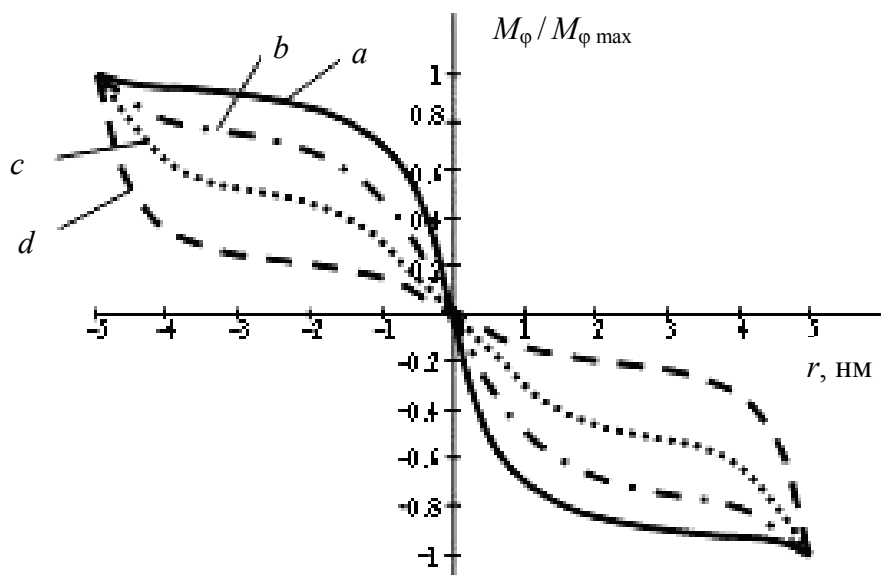


Рис. 4. Распределение намагниченности спин-волновой моды второго порядка в зависимости от радиуса  $r$  нанопроволоки:  $\vec{H}_0 = 500 \text{ Э}$ ;  $f = 30 \text{ ТГц}$ ;  $c = 2r$ ;  $b = 1,25l$ ;  $a = 3,5r$ ;  $2r = 10 \text{ нм}$ ;  $l = 300 \text{ нм}$ ; кривые  $a$ :  $\beta = 0^\circ$ ,  $\alpha = \gamma = 90^\circ$ ;  $b$ :  $\beta = 11,5^\circ$ ,  $\alpha = \gamma = 82^\circ$ ;  $c$ :  $\beta = 70^\circ$ ,  $\alpha = \gamma = 72^\circ$ ;  $d$ :  $\beta = 89^\circ$ ,  $\alpha = \gamma = 56^\circ$   
( $\alpha$  – угол между вектором  $\vec{H}_0$  и осью  $ox$ ;  $\beta$  – угол между вектором  $\vec{H}_0$  и осью  $oy$ )

Результаты моделирования показывают, что изменение ориентации вектора постоянного поля подмагничивания  $\vec{H}_0$  относительно  $\vec{H}_0 = H_0 \vec{e}_y$ , направленного вдоль оси ферромагнитных нанопроволок (рис. 1), приводит к изменению характера мод вследствие уменьшения глубины проникновения поля  $\delta_1$  в ферромагнитный металл в сравнении с «эффективным» сечением нанопроволоки по отношению к падающей электромагнитной волне.

Радиальные спин-волновые моды имеют волновые числа  $k \geq 1/2r$  порядка обратного размера  $2r$ ; их резонансные частоты лежат в терагерцовом

диапазоне, если диаметр нанопроволок  $2r < 10$  нм. Аксиальные (продольные) спин-волновые моды имеют меньшие по величине волновые числа  $k \geq 1/l$  порядка обратного размера  $l$  (длины нанопроволок), поэтому именно радиальные спин-волновые моды определяют спиновую динамику в решетках ферромагнитных металлических нанопроволок в терагерцовом диапазоне частот.

Расчетные зависимости модуля коэффициента прохождения  $|T_{21}|$  ТЕМ-волны через решетку ферромагнитных металлических нанопроволок (рис. 1) от величины постоянного поля намагничивания  $H_0$  ( $H_0 = H_0 y_0$ ) для нанопроволок различных диаметров  $2r < \delta$  (кривые 1–4) на частоте  $f = 30$  ТГц приведены на рис. 5. В зависимости от приложенного внешнего постоянного магнитного поля  $H_0$  коэффициент прохождения  $|T_{21}|$  имеет два экстремума (кривые 1–4 на рис. 5), соответствующие возбуждению первой и второй спин-волновым мод на частотах  $\omega_{0n}$  спин-волнового резонанса. При этом положение минимумов и максимумов (в частности первого) зависит также и от соотношения диаметра  $2r$  нанопроволок и их длины  $l$ .

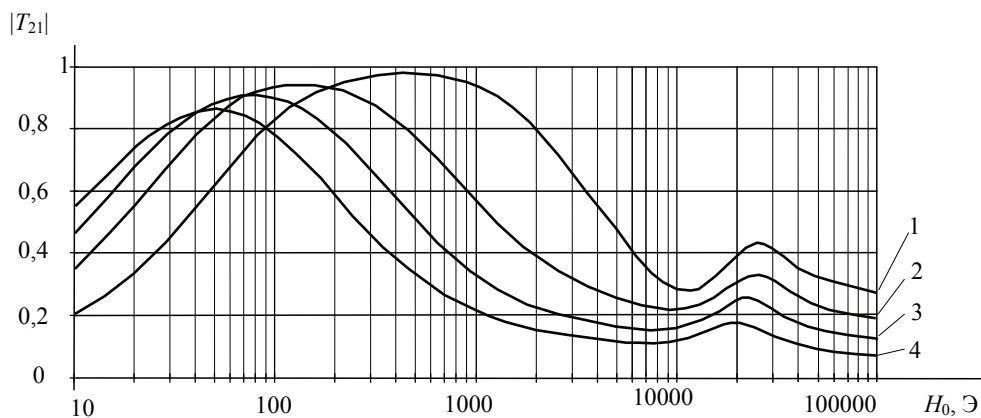


Рис. 5. Парциальные резонансы и антирезонансы спин-волновых мод в двумерной периодической решетке ферромагнитных нанопроволок в зависимости от величины постоянного магнитного поля намагничивания  $H_0$  при диаметре нанопроволок  $2r$

и периоде решетки  $a$ :  $\vec{H}_0 = H_0 \vec{y}_0$ ;  $f = 30$  ТГц;  $a = 3,5l$ ,  $b = 1,25l$ ,  $c = 2r$ ;  
 $l = 300$  нм; кривые 1:  $2r = 10$  нм; 2:  $2r = 15$  нм; 3:  $2r = 20$  нм; 4:  $2r = 25$  нм

Эти минимумы и максимумы расположены, соответственно, в точках резонанса и антирезонанса, определяемых внутренним магнитным полем  $\vec{H}_{0\text{вн}}$  [3].

Отношение диаметра  $2r$  нанопроволок к периоду решетки и диаметра  $2r$  нанопроволок к их длине  $l$  существенно влияет на анизотропию магнитной нанорешетки и, соответственно, на внутреннее магнитное поле  $\vec{H}_{0\text{вн}}$ , которое определяется анизотропией формы нанопроволок и плотностью упаковки нанорешетки [1].

Если мы рассматриваем магнитную нанорешетку с малой плотностью упаковки ( $2r = 25$  нм кривая 4 на рис. 5), используя модель бесконечно тонкого цилиндра с продольным направлением намагниченности, следует отме-

тить, что собственная частота  $\omega_{0n}$  спин-волновой моды второго порядка  $n = 2$  значительно возрастает [6]. И, соответственно, условия резонанса и антирезонанса [3] для этой спин-волновой моды  $n = 2$  достигаются при больших значениях внешнего магнитного поля  $H_0$ , чем в случае магнитной нанорешетки  $2r = 10$  нм с высокой плотностью упаковки (кривая 1 на рис. 5).

Между тем условия резонанса и антирезонанса для спин-волновой моды низшего порядка  $n = 1$  с нулевым волновым числом  $k = 0$  не изменяются, и в зависимости от приложенного внешнего постоянного магнитного поля  $H_0$  не меняется положение соответствующих экстремумов (кривые  $a-d$  на рис. 4).

Таким образом, действием внешнего магнитного поля можно изменять параметры магнитных нанорешеток, добиваться выполнения условий резонансов и, таким образом, управлять распространением и отражением электромагнитных волн.

В магнитных нанорешетках с металлическими наночастицами и нанопроволоками, помимо ферромагнитного резонанса, может осуществляться еще и антирезонанс, что расширяет возможности управления спектральными свойствами.

Исследование оптических и магнитных свойств решеток ферромагнитных нанопроволок перспективно для разработки новых электронных компонентов для современных систем связи и обработки информации.

#### *Список литературы*

1. **Pardavi-Horvath, M.** Interaction Effects in Permalloy Nanowire Systems / M. Pardavi-Horvath, P. E. Si, M. Vazquez, W. O. Rosa, G. Badini // J. Appl. Phys. – 2008. – V. 103. – 07D517.
2. **Makeeva, G. S.** Tuning the Scattering Parameters of Magnetic Nanowire Arrays Near the Antiresonance at Photonic Frequencies / G. S. Makeeva, M. Pardavi-Horvath, O. A. Golovanov // IEEE Transaction on Magnetics. – 2009. – Oct. – V. 45. – № 10. – P. 4074–4076.
3. **Гуревич, А. Г.** Магнитные колебания и волны / А. Г. Гуревич. Г. А. Мелков. – М. : Наука, 1994.
4. **Голованов, О. А.** Метод автономных блоков с магнитными нановключениями и каналами Флеке для математического моделирования магнитныхnanoструктур с учетом обмена и граничных условий / О. А. Голованов, Г. С. Макеева // Радиотехника и электроника. – 2009. – Т. 54. – № 12. – С. 1421–1428 .
5. **Ахиезер, А. И.** Спиновые волны / А. И. Ахиезер, В. Г. Баряхтар, С. В. Пелетминский. – М. : Наука, 1967.
6. **Arias, R.** Theory of spin excitations and the microwave response of cylindrical ferromagnetic nanowires / R. Arias, D. L. Mills // Physical Review B. – 2001. – V. 63. – P. 134439.

---

**Голованов Олег Александрович**

доктор физико-математических наук,  
профессор, заведующий кафедрой  
математики и начертательной геометрии,  
Пензенский артиллерийский  
инженерный институт  
им. Н. Н. Воронова

E-mail: golovanovol@mail.ru

**Golovanov Oleg Alexandrovich**

Doctor of physical and mathematical  
sciences, professor, head of sub-department  
of mathematics and descriptive geometry,  
Penza Artillery and Military Engineering  
Institute named after N. N. Voronov

**Макеева Галина Степановна**

доктор физико-математических наук,  
профессор, кафедра радиотехники  
и радиоэлектронных систем, Пензенский  
государственный университет,  
действительный член Академии  
инженерных наук им. А. М. Прохорова

E-mail: radiotech@pnzgu.ru

**Makeeva Galina Stepanovna**

Doctor of physical and mathematical  
sciences, professor, sub-department of radio  
engineering and radio-electronic systems,  
Penza State University, full member  
of Engineering sciences Academy  
named after A. M. Prokhorov

**Чиркина Марина Александровна**

ассистент, кафедра прикладной  
математики, Пензенский  
государственный университет  
архитектуры и строительства

E-mail: golovanovol@mail.ru

**Chirkina Marina Alexandrovna**

Assistant, sub-department of applied  
mathematics, Penza State University  
of Architecture and Construction

УДК 535.32

**Макеева, Г. С.**

**Спиновая динамика в решетках ферромагнитных металлических нанопроволок в условиях скин-эффекта в терагерцовом диапазоне частот / Г. С. Макеева, О. А. Голованов, М. А. Чиркина // Известия высших учебных заведений. Поволжский регион. Физико-математические науки. – 2010. – № 2 (14). – С. 117–125.**